

УДК 532.529

СТЕРЖНЕВОЕ ТЕЧЕНИЕ КУЭТТА ВОЛОКНИСТОЙ СУСПЕНЗИИ МЕЖДУ СОСНЫМИ ЦИЛИНДРАМИ

БАБКИН В. А.

Течение волокнистой суспензии в пространстве между двумя бесконечными соосными круговыми цилиндрами давно привлекает внимание исследователей [1–6]. Пусть поверхности цилиндров гладкие. Внутренний цилиндр радиуса R_1 неподвижен, а внешний, радиуса R_2 , вращается с постоянной угловой скоростью. Концентрация суспензии с выше концентрации седиментации, так что в суспензии может образовываться упругая сеть волокон [6–8]. Задача состоит в том, чтобы найти распределение скорости в пространстве между цилиндрами и функциональную связь между касательными напряжениями на поверхности цилиндров и угловой скоростью внешнего цилиндра.

Примем цилиндрическую систему координат r, φ, x : ось x направлена по общей оси цилиндров; положительные значения угла φ отсчитываются в сторону вращения внешнего цилиндра.

В зависимости от скорости вращения в пространстве между цилиндрами может установиться один из возможных режимов движения суспензии: стержневое, переходное или турбулентное течение [4, 6]. Ограничимся только стержневым течением. Этот режим устанавливается при небольших скоростях вращения, однако в зависимости от концентрации суспензии может охватывать весьма значительный диапазон скоростей, включая и те скорости, что встречаются на практике [6].

В стержневом режиме область течения суспензии $R_1 \leq r \leq R_2$ состоит из ядра, содержащего все волокна суспензии и движущегося как твердое тело, и областей чистой жидкости, прилегающих к твердым стенкам [4, 6, 7]. Пристеночные слои образуются за счет деформации сети волокон, входящей в ядро [7].

При вращении внутреннего цилиндра (внешний покоится) образуется только один пристеночный слой, прилегающий к внутреннему цилиндру, причем вся масса суспензии, за исключением жидкости в этом слое, покоится [4]. Однако автору неизвестны работы, в которых давалась бы такая же определенная информация о пристеночных слоях и движении ядра суспензии в случае вращения внешнего цилиндра. По этой причине в данной работе отдельно рассмотрены случаи течения с двумя пристеночными слоями и одним пристеночным слоем у внутреннего или внешнего цилиндра.

1. Два пристеночных слоя. Пусть при вращении внешнего цилиндра с угловой скоростью ω_2 в пространстве между цилиндрами, занятом суспензией, образуются пристеночные слои жидкой фазы суспензии толщиной d_1 у внутреннего цилиндра и d_2 — у внешнего, а также ядро течения $R_1 + d_1 \leq r \leq R_2 - d_2$. Ядро будем считать вращающимся как твердое тело, с постоянной угловой скоростью ω , которая, вообще говоря, не совпадает с ω_2 и должна быть найдена в ходе решения задачи.

Чтобы найти связь между касательными напряжениями на стенках цилиндров и угловой скоростью ω_2 , ввиду расслоенности суспензии у стенок рассмотрим отдельно течение жидкой фазы в пристеночных слоях и деформацию сети волокон в ядре течения, поскольку касательные напряжения на стенках определяются движением жидкой фазы и, следовательно, толщиной пристеночных слоев d_1, d_2 , а последние — деформацией сети волокон.

Взаимосвязь между течением жидкой фазы и деформацией сети волокон осуществляется посредством граничных условий на границах ядра с пристеночными слоями.

Здесь и далее влиянием силы тяжести будем пренебрегать.

В пристеночных слоях течение жидкой фазы суспензии ламинарное [4, 6]. Для ньютоновской жидкости, каковой и будет считаться жидкая фаза суспензии, распределение скорости v_φ ($v_r=v_x=0$) в слоях дается известным решением [9]

$$v_\varphi = \frac{\omega R_1 (1+\delta_1)^2 (\xi^2-1)}{\xi \delta_1 (2+\delta_1)}, \quad R_1 \leq r \leq R_1+d_1 \quad (1.1)$$

$$v_\varphi = \frac{\omega R_1 (h-\delta_2)^2 (h^2-\xi^2) + \omega_2 h R_2 (\xi^2 - (h-\delta_2)^2)}{\xi \delta_2 (2h-\delta_2)} \quad (1.2)$$

$$R_2-d_2 \leq r \leq R_2$$

$$\xi = \frac{r}{R_1}, \quad h = \frac{R_2}{R_1}, \quad \delta_1 = \frac{d_1}{R_1}, \quad \delta_2 = \frac{d_2}{R_1}$$

По профилям скоростей (1.1) и (1.2) определяются касательные напряжения на границах пристеночных слоев [9]

$$r=R_1: \quad \tau_{\varphi r} = \frac{2\eta\omega(1+\delta_1)^2}{\delta_1(2+\delta_1)}; \quad r=R_1+d_1: \quad \tau_{\varphi r} = \frac{2\eta\omega}{\delta_1(2+\delta_1)} \quad (1.3)$$

$$r=R_2-d_2: \quad \tau_{\varphi r} = \frac{2\eta h^2(\omega_2-\omega)}{\delta_2(2h-\delta_2)};$$

$$r=R_2: \quad \tau_{\varphi r} = \frac{2\eta(\omega_2-\omega)(h-\delta_2)^2}{\delta_2(2h-\delta_2)} \quad (1.4)$$

Здесь η — динамическая вязкость жидкой фазы суспензии.

Величины δ_1 , δ_2 и ω в формулах (1.1)–(1.4) неизвестны. Найдем их, решая задачу о деформации сети волокон в суспензии. Сеть волокон будем считать упругим континуумом, а деформации сети — конечными. За начальное, ненапряженное состояние примем состояние сети, когда система в покое.

Чтобы исключить смещения ядра как твердого тела, деформацию будем рассматривать в системе координат, вращающейся вместе с ядром с угловой скоростью ω . Учитывая симметрию деформации, перемещения u_r , u_φ , u_x точек сети волокон будем искать в виде $u_r=u_r(r)$, $u_\varphi=u_\varphi(r)$, $u_x=0$, при этом конечные деформации ε_{ij} через перемещения выражаются формулами

$$2\varepsilon_{rr}=2u_{r,r}-(u_{r,r}^2+u_{\varphi,r}^2), \quad \varepsilon_{\varphi\varphi} = \frac{u_r}{r} - \frac{u_r^2+u_\varphi^2}{2r^2} \quad (1.5)$$

$$2\varepsilon_{\varphi r}=u_{\varphi,r} - \frac{1}{r}(u_\varphi+u_r u_{\varphi,r}-u_\varphi u_{r,r})$$

$$\varepsilon_{xx}=\varepsilon_{rx}=\varepsilon_{\varphi x}=0, \quad u_{i,r}=du_i/dr$$

Связь между эффективными напряжениями в сети волокон σ_{ij} и деформациями ε_{ij} зададим формулами, которые введены в [7] и обоснованы в [10]

$$\sigma_{ij}=2\mu\varepsilon_{ij}(1-\varepsilon_{\alpha\alpha})+4\kappa\varepsilon_{i\alpha}\varepsilon_{\alpha j}; \quad i, j, \alpha=r, \varphi, x \quad (1.6)$$

где μ и κ — упругие константы, зависящие от сорта волокон и концентрации. По одинаковым индексам, стоящим рядом, предполагается суммирование.

Подставляя выражения (1.5) в уравнения состояния (1.6), найдем, что не равны нулю только напряжения σ_{rr} , $\sigma_{\varphi\varphi}$, $\sigma_{\varphi r}$. Тогда уравнения равнове-

сия сети волокон имеют вид

$$\frac{d\sigma_{\varphi r}}{dr} + \frac{2\sigma_{\varphi r}}{r} = 0, \quad \frac{d\sigma_{rr}}{dr} + \frac{\sigma_{rr} - \sigma_{\varphi\varphi}}{r} = -\rho\omega^2 r \quad (1.7)$$

$$\rho = \rho_2 q c (\rho_1 - \rho_2) \quad (1.8)$$

Здесь ρ — эффективная плотность сети волокон, ρ_1, ρ_2 — плотности твердой и жидкой фаз суспензии, q — удельный объем твердой фазы. Формула (1.8) справедлива только при небольшой разнице плотностей фаз, что, однако, всегда выполняется в случае водных суспензий целлюлозных и древесных волокон [8].

Граничные условия

$$\begin{aligned} r=R_1+d_1: \quad \sigma_{\varphi r} &= \tau_{\varphi r}, \quad \sigma_{rr}=0, \quad u_r=d_1; \\ r=R_2-d_2: \quad \sigma_{\varphi r} &= \tau_{\varphi r}, \quad \sigma_{rr}=0, \quad u_r=-d_2 \end{aligned} \quad (1.9)$$

Первое уравнение (1.7) интегрируется сразу

$$\sigma_{\varphi r} = C/r^2 \quad (1.10)$$

где C — постоянная интегрирования. Однако систему (1.5)–(1.7) в целом будем решать методом разложения в ряд по малым параметрам. Из системы уравнений (1.7) и граничных условий (1.9) видно, что деформированное состояние сети волокон определяется касательными напряжениями на границе, например $\tau_1 = \tau_{\varphi r}(R_1)$, и угловой скоростью ядра ω . Введем поэтому два безразмерных параметра, которые будем считать малыми

$$\beta_1 = \tau_1/\mu, \quad \beta_2 = \rho\omega^2(R_2^2 - R_1^2)/\mu \quad (1.11)$$

Предположим, что перемещения u_r и u_φ можно представить в виде ряда

$$\psi = \psi_1^{(1)} \beta_1 + \psi_2^{(1)} \beta_2 + \psi_1^{(2)} \beta_1^{(2)} + \psi_{12}^{(2)} \beta_1 \beta_2 + \psi_2^{(2)} \beta_2^2 + \dots \quad (1.12)$$

где ψ — общее обозначение для перемещений, $\psi_1^{(1)}, \psi_2^{(1)}, \dots$ — не зависящие от β_1 и β_2 функции. В формуле (1.12) учтено, что $\psi=0$ при $\beta_1=\beta_2=0$. Из формул (1.5), (1.6) и (1.9) следует, что тогда и $\varepsilon_{ij}, \sigma_{ij}, d_1, d_2$ также можно представить в виде рядов (1.12). Раскладывая указанные величины в ряды, подставляя их затем в систему (1.5)–(1.7) и граничные условия (1.9) и приравнивая выражения при одинаковых степенях $\beta_1^m \beta_2^n$, $m, n=0, 1, 2, \dots$, получим уравнения и граничные условия для определения $\psi_1^{(1)}, \psi_2^{(1)}, \dots$ В данной работе ограничимся первыми ненулевыми приближениями рассматриваемых величин.

В принятом приближении формула (1.10) и первое граничное условие (1.9) дают (см. также (1.11))

$$\sigma_{\varphi r} = \tau_1 R_1^2 / r^2 = \beta_1 \mu R_1^2 / r^2 \quad (1.13)$$

Подставляя выражение (1.13) в (1.5), (1.6), получим уравнение

$$\frac{du_\varphi}{dr} - \frac{u_\varphi}{r} = \beta_1 \frac{R_1^2}{r^2}, \quad u_\varphi = u_{\varphi 1}^{(1)} \beta_1 + u_{\varphi 2}^{(1)} \beta_2 \quad (1.14)$$

Его решение, если пренебречь перемещениями сети волокон как твердого тела, имеет вид

$$u_\varphi = -\beta_1 R_1^2 / 2r \quad (1.15)$$

Рассмотрим теперь второе уравнение (1.7). Подставляя в него уравнение состояния (1.6) в виде разложения (1.12), с учетом решения (1.15) получим

$$\frac{d^2 u_r}{dr^2} + \frac{1}{r} \frac{du_r}{dr} - \frac{u_r}{r^2} + \frac{d}{dr} \left[\left(2e - \frac{3}{2} \right) \left(\frac{du_r}{dr} \right)^2 - \frac{u_r}{r} \frac{du_r}{dr} \right] + \quad (1.16)$$

$$+ \left(2e - \frac{3}{2} \right) \left[\frac{1}{r} \left(\frac{du}{dr} \right)^2 - \frac{u_r^2}{r^3} \right] = \frac{(4e-1)R_1^4 \beta_1^2}{2r^5} - \frac{r\beta_2}{2R_1^2(h^2-1)}$$

$$u_r = u_{r_1}^{(1)} \beta_1 + u_{r_2}^{(1)} \beta_2 + u_{r_{12}}^{(2)} \beta_1 \beta_2 + u_{r_2}^{(2)} \beta_2^2$$

где $e = \kappa/\mu$. В разложении u_r оставлены члены с первой и второй степенями β_1 и β_2 , так как эти же степени входят в первое ненулевое приближение, составляющее правую часть уравнения (1.16).

Приравнявая выражения при одинаковых степенях β_1 и β_2 и решая полученные уравнения с условиями $\sigma_{rr} = 0$ при $r = R_1 + d_1$ и $r = R_2 - d_2$ (см.

(1.9)), получим $u_{r_1}^{(1)} = u_{r_{12}}^{(2)} = 0$ и

$$u_r = u_{r_1}^{(2)} \beta_1^2 + u_{r_2}^{(1)} \beta_2 = A_1 r + \frac{A_2}{r} + \frac{a_1}{r^3} + a_2 r^3 \quad (1.17)$$

$$A_1 = \frac{(1-4e)\beta_1^2}{16h^2} + \frac{3(h^2+1)\beta_2}{16(h^2-1)}$$

$$\frac{A_2}{R_1^2} = \frac{(1-4e)(h^2+1)\beta_1^2}{16h^2} + \frac{3h^2\beta_2}{16(h^2-1)}$$

$$a_1 = \frac{(4e-1)R_1^4\beta_1^2}{16}, \quad a_2 = -\frac{\beta_2}{16R_1^2(h^2-1)}$$

Решение (1.17) вместе с последними граничными условиями (1.9) позволяет найти величины δ_1 и δ_2

$$\delta_1 = \frac{(1-4e)\tau_1^2}{8\mu^2 h^2} + \frac{\rho\omega^2(3h^2+1)R_1^2}{8\mu} \quad (1.18)$$

$$\delta_2 = \frac{(4e-1)\tau_1^2}{8\mu^2 h} - \frac{\rho\omega^2 h(h^2+3)R_1^2}{8\mu} \quad (1.19)$$

Здесь параметры β_1 и β_2 заменены своими выражениями (1.11).

В формулы (1.18) и (1.19) входит не определенная пока угловая скорость вращения ядра ω . В рассматриваемом приближении первая формула (1.3) дает $\tau_1 \delta_1 = \omega \eta$. Подставляя сюда формулу (1.18), получим уравнение для определения $\omega = \omega(\tau_1)$

$$\rho\mu\tau_1 R_2^2 (1+3h^2)\omega^2 - 8\eta\mu^2 h^2 \omega - (4e-1)\tau_1^3 = 0 \quad (1.20)$$

По имеющимся данным [10], по крайней мере для целлюлозных и древесных волокон, $e > 1/4$, и тогда уравнение (1.20) имеет два решения. Для физически допустимого решения $\omega(\tau_1) \rightarrow 0$ при $\tau_1 \rightarrow 0$, т. е. вращение ядра замедляется, если уменьшается приложенное касательное напряжение, и $\omega(\tau_1) > 0$, т. е. вращение ядра происходит в сторону вращения внешнего цилиндра. Обои́м этим условиям не удовлетворяет ни одно из решений уравнения (1.20), так как одно из них отрицательно, а другое не стремится к нулю при $\tau_1 \rightarrow 0$. Поэтому стержневое течение с двумя пристеночными слоями для суспензий с $e > 1/4$ физически нереализуемо.

2. Пристеночный слой у внешнего цилиндра. Общий случай. Пусть пристеночный слой толщины d_2 образуется только у внешнего цилиндра. Предположим, что ядро суспензии $R_1 \leq r \leq R_2 - d_2$ вращается с постоянной угловой скоростью $\omega \neq \omega_2$ в том же направлении, что и внешний цилиндр.

Касательные напряжения τ_r в жидкой фазе на границах пристеночного слоя $r = R_2 - d_2$ и $r = R_2$ определяются по формулам (1.4). Касательное напряжение на поверхности внутреннего цилиндра τ_1 , характеризующее силу взаимодействия этой поверхности и суспензии, зависит от скорости вращения ядра ω . Связь $\tau_1 = \tau_1(\omega)$ представляет собой граничное условие при $r = R_1$.

Деформированное состояние сети волокон определяется при решении системы (1.5) – (1.7) с граничными условиями

$$\begin{aligned} r=R_1: \quad \sigma_{\varphi r} &= \tau_1(\omega), \quad u_r=0; \\ r=R_2-d_2: \quad \sigma_{\varphi r} &= \tau_{\varphi r}, \quad \sigma_{rr}=0, \quad u_r=-d_2 \end{aligned} \quad (2.1)$$

Формула (1.10) с граничными условиями (2.1) дает решение (1.13) и условие равномерного вращения ядра суспензии

$$\tau_1 R_1^2 = (R_2 - d_2)^2 \tau_{\varphi r} (R_2 - d_2) \quad (2.2)$$

Повторяя далее выкладки разд. 1, получим, что u_φ определяется формулой (1.15), а u_r удовлетворяет уравнению (1.16). Решая его с граничными условиями (2.1), найдем вначале перемещение u_r , а затем и толщину пристеночного слоя δ_2 , которая в рассматриваемом приближении имеет вид

$$\delta_2 = \frac{(4e-1)(h^2-1)\tau_1^2}{8\mu^2 h(h^2+1)} - \frac{\rho\omega^2 R_1 R_2 (2h^4 - h^2 + 1)}{16\mu(h^2+1)} \quad (2.3)$$

И уменьшаемое и вычитаемое в формуле (2.3) при $e > 1/4$ положительны, так как $h > 1$. Формула (2.3) имеет смысл, если разность в ее правой части положительна.

Зависимость $\tau_1(\omega_2)$ определяется из равенств (1.4), (2.2) и (2.3), если в явном виде известна связь $\tau_1 = \tau_1(\omega)$.

Особый случай: $\omega = 0$. Пусть ядро суспензии неподвижно. Вращение внешнего цилиндра приводит в движение только жидкую фазу в пристеночном слое. Из-за различия граничных условий на границе ядра $r=R_1$, этот случай не является частным случаем предыдущего общего случая и должен рассматриваться отдельно.

Напряжения на границах пристеночного слоя $r=R_2-d_2$ и $r=R_2$ определяются формулами (1.4), а деформированное состояние сети волокон в ядре – уравнениями (1.7) при $\omega = 0$.

Граничные условия для определения деформации сети волокон не совпадают с условиями (2.1), а имеют вид

$$r=R_1: \quad u_\varphi=0, \quad u_r=0; \quad r=R_2-d_2: \quad \sigma_{\varphi r}=\tau_{\varphi r}, \quad \sigma_{rr}=0, \quad u_r=-d_2 \quad (2.4)$$

Формула (1.10) с граничным условием (2.4) на $\sigma_{\varphi r}$ дает

$$r^2 \sigma_{\varphi r} = (R_2 - d_2)^2 \tau_{\varphi r} (R_2 - d_2) \quad (2.5)$$

Поскольку $\sigma_{\varphi r}(R_1) = \tau_1$, то отсюда при $r=R_1$ получается равенство (2.2).

Напряжение $\sigma_{\varphi r}$ в формуле (2.5) выразим через перемещения по формулам (1.5), (1.6), а правую часть равенства (2.5) заменим на левую часть формулы (2.2). Тогда равенство (2.5) перейдет в уравнение (1.14). Интегрируя его с условием $u_\varphi(R_1) = 0$, получим

$$u_\varphi = \frac{\beta_1}{2} \left(r - \frac{R_1^2}{r} \right) \quad (2.6)$$

Так как в данном случае $\omega = 0$, то $\beta_2 = 0$, и поэтому неизвестные u_r и d_2 отыскиваются в виде рядов по β_1 . Выкладки, аналогичные изложенным в разд. 1, с учетом решения (2.6) дают, что $u_{r1}^{(1)} = 0$ и уравнение для u_r имеет вид

$$\frac{d^2 u_r}{dr^2} + \frac{1}{r} \frac{du_r}{dr} - \frac{u_r}{r^2} = \frac{(4e-1)R_1^4 \beta_1^2}{2r^5}, \quad u_r = \frac{(2)}{u_{r1}} \beta_1^2 \quad (2.7)$$

Решая уравнение (2.7) с граничными условиями (2.4), найдем вначале перемещение u_r , а затем толщину пристеночного слоя δ_2

$$\delta_2 = \frac{(h^2-1)(4e-3-h^2)\tau_1^2}{8\mu^2 h(h^2+1)} \quad (2.8)$$

Условие $\delta_2 > 0$ приводит к необходимому условию существования рассматриваемого течения: $4e-3-h^2 > 0$.

Связь $\tau_1 = \tau_1(\omega_2)$ устанавливается с помощью формул (2.2), (2.8) и (1.4) при

$\omega=0$. В рассматриваемом приближении

$$\omega_2 = \frac{(h^2-1)(4e-3-h^2)\tau_1^3}{8\eta\mu^2 h^4(h^2+1)} \quad (2.9)$$

3. Пристеночный слой у внутреннего цилиндра. Общий случай. Пусть пристеночный слой толщины d_1 образуется только у внутреннего (неподвижного) цилиндра. Предположим, что ядро суспензии $R_1+d_1 \leq r \leq R_2$ вращается с постоянной угловой скоростью ω в том же направлении, что и наружный цилиндр.

Касательное напряжение $\tau_{\varphi r}$ на границах пристеночного слоя $r=R_1$ и $r=R_1+d_1$ определяется формулами (1.3). Пусть τ_2 — касательное напряжение на поверхности $r=R_2$ ядра суспензии. Будем предполагать, что угловая скорость ядра ω меньше угловой скорости ω_2 наружного цилиндра, тогда $\tau_2 > 0$. Напряжение τ_2 характеризует силу взаимодействия суспензии и внутренней стенки наружного цилиндра и зависит кроме параметров суспензии от угловых скоростей ω и ω_2 . Явная зависимость $\tau_2 = \tau_2(\omega, \omega_2)$ представляет собой граничное условие при $r=R_2$.

Деформация сети волокон определяется из системы уравнений (1.5) — (1.7) с граничными условиями

$$\begin{aligned} r=R_1+d_1: \quad \sigma_{\varphi r} &= \tau_{\varphi r}, \quad \sigma_{rr} = 0, \quad u_r = d_1 \\ r=R_2: \quad \sigma_{\varphi r} &= \tau_2(\omega, \omega_2), \quad u_r = 0 \end{aligned} \quad (3.1)$$

Интеграл (1.10) с граничными условиями (3.1) для $\sigma_{\varphi r}$ приводит к равенству

$$(R_1+d_1)^2 \tau_{\varphi r}(R_1+d_1) = \tau_2 R_2^2 \quad (3.2)$$

Поскольку дальнейшие выкладки проводятся так же, как и в разд. 1 и для общего случая разд. 2, то сразу же приведем результаты. Перемещение u_{φ} определяется формулой (1.15). Перемещение u_r удовлетворяет уравнению (1.16). Его решение с граничными условиями (3.1) дает и само перемещение u_r , и толщину пристеночного слоя δ_1

$$\delta_1 = \frac{(4e-1)(h^2-1)\tau_1^2}{8\mu^2 h^2(h^2+1)} + \frac{\rho\omega^2 R_1^2(h^4-h^2+1)}{8\mu(h^2+1)} \quad (3.3)$$

При $h > 1$ всегда $\delta_1 > 0$.

Связь $\tau_1 = \tau_1(\omega_2)$ устанавливается из формул (1.3), (3.2), (3.3), если известна явная зависимость $\tau_2 = \tau_2(\omega, \omega_2)$.

Особый случай: $\omega = \omega_2$. Ядро суспензии вращается вместе с внешним цилиндром с угловой скоростью ω_2 .

Напряжения на границах пристеночного слоя $r=R_1$ и $r=R_1+d_1$ определяются по формулам (1.3) при $\omega = \omega_2$. Деформированное состояние сети описывается уравнениями (1.7), в которых $\omega = \omega_2$.

Граничные условия

$$r=R_1+d_1: \quad \sigma_{\varphi r} = \tau_{\varphi r}, \quad \sigma_{rr} = 0, \quad u_r = d_1; \quad r=R_2: \quad u_{\varphi} = 0, \quad u_r = 0 \quad (3.4)$$

Из формулы (1.10) и условия (3.4) для $\sigma_{\varphi r}$ следует:

$$r^2 \sigma_{\varphi r} = (R_1+d_1)^2 \tau_{\varphi r}(R_1+d_1) \quad (3.5)$$

$$(R_1+d_1)^2 \tau_{\varphi r}(R_1+d_1) = \tau_2 R_2^2, \quad \tau_2 = \sigma_{\varphi r}(R_2) \quad (3.6)$$

Уравнение для u_{φ} получается из равенства (3.5) после подстановки в него формул (1.3) при $\omega = \omega_2$, (1.6) и разложения в ряд по параметрам β_1 , $\beta_2 = \rho\omega_2^2(R_2^2 - R_1^2)/\mu$. В первом ненулевом приближении оно имеет вид (1.14). Его решение с граничным условием $u_{\varphi}(R_2) = 0$ таково

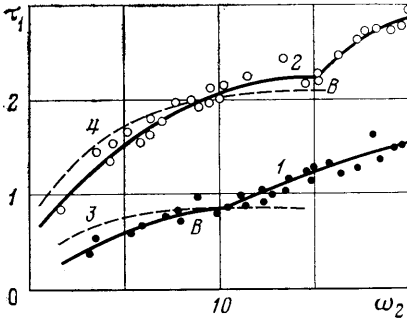
$$u_{\varphi} = \frac{\beta_1 R_1^2}{2} \left(\frac{r}{R_2^2} - \frac{1}{r} \right) \quad (3.7)$$

Уравнение для определения u_r совпадает с уравнением (1.16). Решая его с граничными условиями (3.4), найдем перемещение u_r и толщину пристеночного слоя δ_1

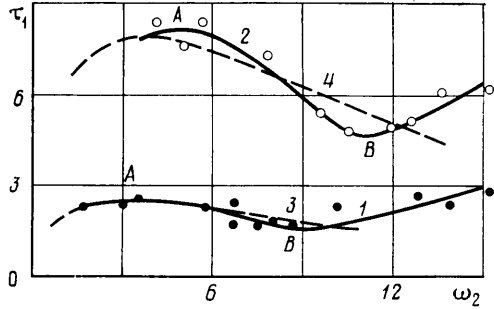
$$\delta_1 = \frac{a\tau_1^2}{G^2} + \frac{\rho a \omega_2^2 R_2^2 (h^2 - 1)}{\mu} \quad (3.8)$$

$$G^2 = \frac{\mu^2 h^2}{(4e - 3)h^2 - 1}, \quad a = \frac{h^2 - 1}{8h^2(h^2 + 1)}$$

Величина G совпадает с эффективным упругим модулем G_1 , полученным для стержневого течения Куэтта с внутренним вращающимся цилиндром [7]. Если $e > 1$, то формула, определяющая G , имеет смысл.



Фиг. 1



Фиг. 2

Суспензии с таким значением e существуют [10]. Условие $\delta_1 > 0$ не накладывает никаких ограничений на τ_1 и ω_2 .

Явная зависимость $\omega_2(\tau_1)$ следует из формул (1.3), (3.6), (3.8) и в рассматриваемом приближении является решением уравнения

$$\rho a G^2 R_2 (h^2 - 1) \tau_1 \omega_2^2 - \mu \eta G^2 \omega_2 + a \mu \tau_1^3 = 0 \quad (3.9)$$

Анализ уравнения (3.9) показывает, что функция $\tau_1(\omega_2)$ немонотонная: τ_1 растет, если $0 < \omega_2 < \omega_{20}$, и убывает при $\omega_2 > \omega_{20}$, где $\omega_{20} = (2\eta^2 \mu^3 / a^2 b^3 G^2)^{1/4}$, $b = 2\rho R_2^2 (h^2 - 1)$. В точке ω_{20} функция $\tau_1(\omega_2)$ достигает максимума, причем $\tau_1(\omega_{20}) = (\mu \eta^2 G^2 / 2a^2 b)^{1/4}$.

4. Сравнение с экспериментом. Монография [6] является одной из немногих работ, рассматривающих течение Куэтта волокнистой суспензии с внешним вращающимся цилиндром, в которой дана достаточно полная информация и о результатах экспериментов, и об установке, на которой они получены, — так называемом ротационном вискозиметре. Ротационный вискозиметр состоит из двух соосных гладких цилиндров. Наружный цилиндр вращается с постоянной угловой скоростью ω_2 . Касательное напряжение τ_1 в зависимости от ω_2 снимается с внутреннего цилиндра. Конструкция прибора предусматривает уменьшение влияния концевых эффектов.

На фиг. 1 и 2 приведены экспериментальные зависимости $\tau_1 - \omega_2$, где τ_1 в Па и ω_2 в $1/c$, полученные при испытаниях суспензий белевой сульфитной целлюлозы разной концентрации с [6]. Чтобы подчеркнуть характер зависимости, кроме точек даны усредняющие кривые: на фиг. 1 кривые 1, 2 для $c = 0.5; 0.8\%$, на фиг. 2 кривые 1, 2 для $c = 1.0; 2.0\%$ соответственно. Очевидно, вид кривых на фиг. 1, 2 различен. Например, на фиг. 1 кривая 2 монотонно растет во всей области изменения ω_2 , имея излом в точке B, тогда как на фиг. 2 кривая 2 вначале растет до точки A, затем убывает до точки B, а перейдя ее, вновь начинает расти.

Сопоставим эти результаты с полученными выше решениями. Ограничимся только особыми решениями, которые в отличие от общих дают связь $\tau_1 - \omega_2$ в явном виде (2.9), (3.9). Из этих двух формул только (3.9) качественно отражает характер зависимости $\tau_1 - \omega_2$ для всех кривых на фиг. 1, 2, тогда как формула (2.9) дает монотонный рост τ_1 при всех ω_2 , что не соответствует графикам на фиг. 2.

Кривые 3 и 4 — это результаты расчета по формуле (3.9): на фиг. 1 для $c = 0.5; 0.8\%$; на фиг. 2 для $c = 1.0; 2.0\%$ соответственно. Расчеты проведены при следующих параметрах: $\rho_1 = 1150 \text{ кг/м}^3$, $\rho_2 = 1000 \text{ кг/м}^3$, $q = 2.37 \cdot 10^{-3} \text{ м}^2/\text{кг}$, $\eta = 1.005 \cdot 10^{-3} \text{ кг/(м}\cdot\text{с)}$, $R_1 = 0.119 \text{ м}$, $R_2 = 0.130 \text{ м}$ [6, 8]; $\mu = 1.63; 5.67; 1.78; 13.23 \text{ Н/м}^2$, $G = 0.85; 3.17; 8.60$;

15,12 Н/м² для $c=0,5; 0,8; 1,0; 2,0\%$ соответственно. Как видно, расчетные кривые вполне удовлетворительно согласуются с экспериментальными кривыми 1, 2. Наибольшие отклонения наблюдаются при малых ω_2 , когда режим еще не вполне установился, и вблизи точки B , в которой стержневое течение сменяется переходным.

Константы μ и G , характеризующие упругие свойства сети волокон, по порядку величины совпадают с аналогичными константами для суспензий блененной березовой крафт-целлюлозы, вычисленными в [10] по результатам опытов [5], и с модулями сдвига, найденными экспериментально в [3, 11]. Следует отметить, что в ряду значений μ значение $\mu(1, 0)=1,78$ должно, вообще говоря, быть меньше, чем $\mu(0, 8)=5,67$. Здесь же ситуация противоположная. Такое отклонение, возможно, связано с не совсем одинаковыми условиями проведения эксперимента, так как хорошо известно [6], что свойства суспензии весьма заметно зависят от условий эксперимента.

Различный характер графиков на фиг. 1, 2 можно объяснить следующим образом. Пусть ω_{2*} — угловая скорость в точке B , в которой происходит смена режимов течения и ω_{20} — точка максимума кривой $\tau_1(\omega_2)$. Если $\omega_{20} > \omega_{2*}$, то зависимость $\tau_1 - \omega_2$ имеет вид кривых на фиг. 1, а если $\omega_{20} < \omega_{2*}$ — кривых на фиг. 2.

В заключение отметим, что с экспериментальными результатами сопоставлено одно из возможных решений разд. 3 и 4. Теоретически допустимая неоднозначность решения задачи Куэтта при вращении внешнего цилиндра требует дополнительных экспериментальных исследований, которые позволят выбрать подходящее случаю решение.

ЛИТЕРАТУРА

1. *Durst R. E., Jenness L. C.* The flow properties of paper pulp stocks. 1. Relationship of shear value to pipe friction for bleached sulphite pulp slurries // *Tappi*. 1954. V. 37. № 10. P. 417–422.
2. *Durst R. E., Jenness L. C.* The flow properties of paper pulp stocks. 2. Relationship of shear value to pipe friction for soda kraft and groundwood slurries // *Tappi*. 1955. V. 38. № 4. P. 193–198.
3. *Шайдулов Г. Ф.* О вязкости и упругости бумажной массы // *Коллоид. журн.* 1955. Т. 17. № 5. С. 397–402.
4. *Baines W. D.* Laminar flow of dilute fibre suspensions // *Svensk Papperstidn.* 1959. V. 62. № 22. P. 823–828.
5. *Moller K., Duffy G. G., Titchener A. L.* The prediction of pipe friction losses from rotational viscometry // *Svensk Papperstidn.* 1973. V. 76. № 13. P. 493–499.
6. *Геренгьев О. А.* Гидродинамика волокистых суспензий в целлюлозно-бумажном производстве. М.: Лесная пром-сть. 1980. 248 с.
7. *Бабкин В. А.* Сдвиг волокнистой суспензии между коаксиальными цилиндрами // *Изв. АН СССР. МЖГ.* 1975. № 2. С. 80–85.
8. *Emmons H. W.* The continuum properties of fiber suspensions // *Tappi*. 1965. V. 48. № 12. P. 679–687.
9. *Кочин И. Е., Кибель И. А., Розе Н. В.* Теоретическая гидродинамика. Ч. 2. М.: Физматгиз, 1963. 727 с.
10. *Бабкин В. А.* Уравнения состояния сети волокон в суспензии. Петрозаводск, 1981. С. 1–16.— *Деп. в ВИНТИ* 29.01.82, № 400–82.
11. *Thalén N., Wahren D.* Shear modulus and ultimate shear strength of some paper pulp fibre networks // *Svensk Papperstidn.* 1964. V. 67. № 7. P. 259–264.

Петрозаводск

Поступила в редакцию
19.I.1987